

УДК 531.38

©2001. И.Н. Гашененко, Е.Ю. Кучер

**АНАЛИЗ ИЗОЭНЕРГЕТИЧЕСКИХ ПОВЕРХНОСТЕЙ ДЛЯ ТОЧНЫХ РЕШЕНИЙ ЗАДАЧИ О ДВИЖЕНИИ ТВЕРДОГО ТЕЛА**

Указан топологический тип трехмерных интегральных многообразий, которым принадлежат все известные точные решения уравнений Эйлера–Пуассона. В фазовом пространстве задачи построена двумерная поверхность сечения Пуанкаре и выполнен компьютерный анализ траекторной структуры динамической системы в окрестности исследуемых частных решений.

**Введение.** Рассмотрим уравнения движения тяжелого твердого тела с закрепленной точкой

$$A\dot{\omega} = A\omega \times \omega + \mathbf{r} \times \nu, \quad \dot{\nu} = \nu \times \omega, \quad (1)$$

где  $A = \text{diag}(A_1, A_2, A_3)$ ,  $\omega$  – угловая скорость тела в подвижном базисе,  $\nu$  – единичный вектор вертикали,  $\mathbf{r}$  – вектор, направленный из неподвижной точки к центру масс тела. Известными интегралами (1) являются

$$H = \frac{1}{2}A\omega \cdot \omega - \mathbf{r} \cdot \nu = h, \quad G = A\omega \cdot \nu = g, \quad I = \nu \cdot \nu = 1. \quad (2)$$

Выделим в фазовом пространстве  $\mathbb{R}^6(\omega, \nu)$  трехмерное компактное подмножество

$$\mathcal{Q}_{h,g}^3 = \{H = h, G = g, I = 1\} \subset \mathbb{R}^6(\omega, \nu),$$

которое инвариантно относительно фазового потока динамической системы (1). Принимая во внимание гамильтоновость уравнений (1) на поверхности уровней интегралов  $G, I$ , будем называть  $\mathcal{Q}_{h,g}^3$  *изоэнергетической* поверхностью [1,2]. Траектории динамической системы (1) проще изучать не во всем фазовом пространстве, а на регулярных изоэнергетических поверхностях, которые имеют малую размерность и простую топологическую структуру. Векторное соотношение

$$F = (A\omega \times \nu) \cdot \mathbf{r} = 0$$

выполняется на непустом множестве точек любой траектории системы (1), поэтому выберем компактное подмножество

$$\mathcal{P}_{h,g}^2 = \{H = h, G = g, I = 1, F = 0\} \subset \mathbb{R}^6(\omega, \nu)$$

в качестве двумерной вспомогательной поверхности (сечения Пуанкаре), которая позволит нам получить первичную информацию о расположении траекторий на  $\mathcal{Q}_{h,g}^3$ . Можно показать, что  $\mathcal{P}_{h,g}^2$  состоит из множества критических точек гладкого отображения  $p|_{\mathcal{Q}^3}$ , где  $p : (\omega, \nu) \mapsto \omega$  – проекция. Отметим некоторые важные свойства этой поверхности. Замкнутая ориентируемая компонента поверхности  $\mathcal{P}_{h,g}^2$  разбивает связную компоненту неособого ориентируемого 3-многообразия  $\mathcal{Q}_{h,g}^3$  на два полных кренделя одинакового рода. Внутри каждой связной компоненты  $\mathcal{Q}_{h,g}^3$  расположена только одна компонента

$\mathcal{P}_{h,g}^2$ . Почти любая фазовая траектория пересекает поверхность сечения  $\mathcal{P}_{h,g}^2$ . Исключением являются равномерные вращения и несколько известных периодических траекторий, которые целиком принадлежат  $\mathcal{P}_{h,g}^2$ .

Возможность существования периодических траекторий на  $\mathcal{Q}_{h,g}^3$  обсуждалась многими авторами. Например, в работе В.В.Козлова [3] доказана следующая теорема:

*Уравнения задачи о вращении твердого тела с неподвижной точкой при фиксированных значениях постоянной площадей  $g$  и энергии  $h > \max(\frac{1}{2}g^2/(A\boldsymbol{\nu} \cdot \boldsymbol{\nu}) - \mathbf{r} \cdot \boldsymbol{\nu})$  имеют хотя бы одно периодическое движение. Если  $g = 0$ , то при всех  $h > \max(-\mathbf{r} \cdot \boldsymbol{\nu})$  уравнения (1) имеют не менее шести различных периодических траекторий (их проекции на сферу Пуассона – три различные замкнутые несамопересекающиеся кривые).*

В некоторых частных случаях эта теорема может быть подтверждена нетривиальными примерами – частными периодическими решениями уравнений (1), для которых известны алгебраические инвариантные соотношения. “Используя, например, один результат В.А.Стеклова можно доказать существование периодических решений на всех совместных некритических уровнях интегралов энергии и момента (а не только при достаточно больших значениях  $h$ ), если центр масс тела лежит на оси инерции.”[3, с.51]

Заметим, что последнее утверждение нуждается в уточнении: во-первых, полученное В.А.Стекловым в 1899 г. периодическое решение существует только при достаточно больших значениях  $h$  и  $g = 0$ , поэтому ссылка в [3] не верна и, конечно, имеется в виду другой результат, полученный почти одновременно В.А.Стекловым и Д.Н.Бобылевым в 1896 г.; во-вторых, решение Бобылева–Стеклова также существует не при любых допустимых значениях  $h, g$ . Далее мы докажем, что при выполнении неравенства  $h \leq g^2/(2A_1) - |r_1|$  решения Бобылева–Стеклова не существует.

Если гамильтонова система интегрируема при помощи боттовского интеграла на некоторой фиксированной трехмерной изоэнергетической поверхности  $\mathcal{Q}_{h,g}^3$ , тогда точные нижние оценки числа устойчивых периодических решений могут быть получены из топологических соображений (см. [1, гл.4,§1]). Кроме того, для интегрируемых случаев Эйлера, Лагранжа, Ковалевской и Горячева–Чаплыгина имеется детальная классификация, основанная на изучении бифуркационных диаграмм и построении топологических инвариантов (молекул) А.Т.Фоменко, которая позволяет указать точное число предельных циклов и изолированных периодических решений на любой поверхности  $\mathcal{Q}_{h,g}^3$ . Во всех перечисленных случаях  $\mathcal{Q}_{h,g}^3$  имеют не слишком сложную структуру: от двух до восьми периодических траекторий (критических окружностей) могут принадлежать каждой связной компоненте этого 3-многообразия [2].

**1. Бифуркации поверхностей  $\mathcal{Q}_{h,g}^3, \mathcal{P}_{h,g}^2$ .** Если центр масс тела принадлежит главной оси инерции ( $r_2 = r_3 = 0$ ), тогда критические значения отображения  $H \times G : S^2 \times \mathbb{R}^3 \rightarrow \mathbb{R}^2(h, g)$  образуют бифуркационное множество  $\Sigma \subset \mathbb{R}^2(h, g)$ , состоящее из четырех плоских кривых:

$$h = \frac{1}{2} \frac{g^2}{A_1} \pm |r_1|, \quad (3^1)$$

$$h = \frac{1}{2} \frac{A_i}{\sigma^2} + \frac{3}{2} \sigma^2 \sigma_*, \quad g = \frac{A_i}{\sigma} + \sigma^3 \sigma_*, \quad \sigma^2 \leq \frac{|r_1|}{|\sigma_*|}, \quad (3^2)$$

где  $\sigma_* = \frac{r_1^2}{(A_1 - A_i)}$ ,  $i = 2, 3$ . Бифуркации поверхностей  $\mathcal{Q}_{h,g}^3$  в этом случае полностью исследованы в работе [4]. Область изменения параметров  $(\alpha, \beta) = (A_2 A_1^{-1}, A_3 A_1^{-1})$  рас-

положена в первом квадранте и ограничена прямыми

$$\{\beta = \alpha + 1, \alpha \in [0, \infty)\} \cup \{\beta = \alpha - 1, \alpha \in [1, \infty)\} \cup \{\beta = 1 - \alpha, \alpha \in (0, 1)\}.$$

Для любой точки этой области можно построить кривые (3) на  $\mathbb{R}^2(h, g)$ . Множество

$$\{\alpha = 1, \beta \in (0, 2)\} \cup \{\beta = 1, \alpha \in (0, 2)\} \cup \{\alpha = \frac{3}{4}, \beta \in (\frac{1}{4}, \frac{7}{4})\} \cup \{\beta = \frac{3}{4}, \alpha \in (\frac{1}{4}, \frac{7}{4})\} \cup \{\alpha = \beta > \frac{1}{2}\} \cup \{\alpha = \frac{(9-8\beta)}{(5-4\beta)^2}, \beta \in (\beta_0, \frac{3}{4})\} \cup \{\beta = \frac{(9-8\alpha)}{(5-4\alpha)^2}, \alpha \in (\alpha_0, \frac{3}{4})\},$$

где  $\alpha_0 = \beta_0 \approx 0.4647$ , делит плоскость  $\mathbb{R}^2(\alpha, \beta)$  на подобласти I-VII с различными типами бифуркационных диаграмм (рис. 1). Полный список неособых интегральных многообразий  $\mathcal{Q}_{h,g}^3$  получен С.Б.Каток [4]. Заметим, что в самом общем случае неособые поверхности  $\mathcal{Q}_{h,g}^3$  рассматриваемой задачи являются связными или состоят из нескольких (двух или трех [5]) связных компонент, которые бывают (в зависимости от значений  $h, g$ ) только следующих четырех видов:  $\mathbb{R}P^3, S^3, S^1 \times S^2$  и  $K^3 = (S^1 \times S^2) \# (S^1 \times S^2)$ . Представленное в виде связной суммы многообразие  $K^3$  можно также получить из сферы  $S^3$  приклеиванием двух “ручек” [6, с.345].

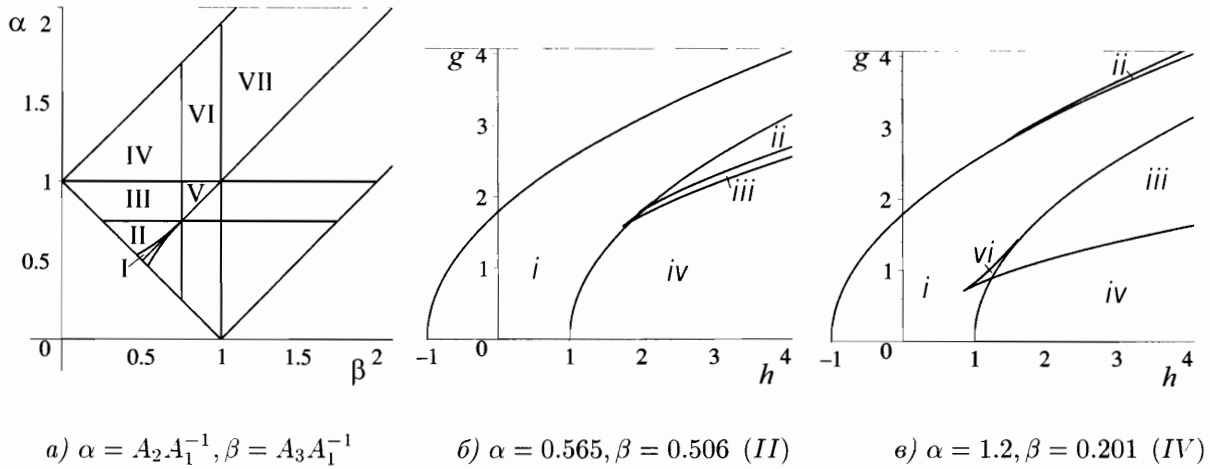


Рис. 1. Примеры бифуркационных диаграмм. Случай  $r_2 = r_3 = 0$ .

Если центр масс волчка лежит в главной плоскости (например, пусть  $r_3 = 0$ ), тогда бифуркационные кривые имеют следующий вид:

$$h = \frac{A_2 r_1 \sigma^3 + (3A_2 - 2A_1)r_2 \sigma^2 + (3A_1 - 2A_2)r_1 \sigma + A_1 r_2}{2(A_1 - A_2)\sigma(\sigma^2 + 1)^{\frac{1}{2}}}, \quad (4^1)$$

$$g = \frac{(A_1 + A_2 \sigma^2)(r_1 \sigma + r_2)^{\frac{1}{2}}}{\sigma^{\frac{1}{2}}(A_1 - A_2)^{\frac{1}{2}}(\sigma^2 + 1)^{\frac{3}{4}}},$$

где  $\sigma \in (-\infty, -r_2 r_1^{-1}] \cup [-r_2 r_1^{-1}, 0) \cup (0, \infty)$ , и

$$h = \frac{1}{2} \frac{A_3}{\sigma^2} + \frac{3}{2} \sigma^2 \sigma_*, \quad g = \frac{A_3}{\sigma} + \sigma^3 \sigma_*, \quad |\sigma| \leq \sigma_0^{-\frac{1}{4}}, \quad (4^2)$$

где

$$\sigma_* = \frac{r_1^2}{(A_1 - A_3)} + \frac{r_2^2}{(A_2 - A_3)}, \quad \sigma_0 = \frac{r_1^2}{(A_1 - A_3)^2} + \frac{r_2^2}{(A_2 - A_3)^2}.$$

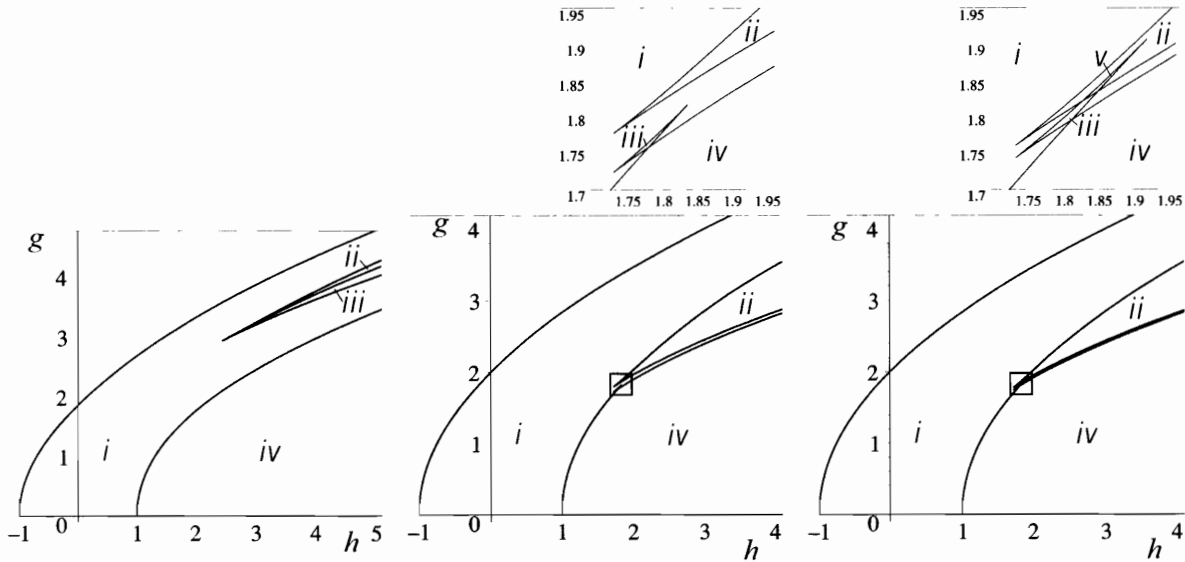
Такая запись бифуркационного множества позволяет дополнить начатое в работе [5] исследование случая  $r_3 = 0$ . Особые точки кривой (4<sup>1</sup>) найдем из условий  $\frac{dh}{d\sigma} = \frac{dl}{d\sigma} = 0$ . Так как выполняется равенство  $l \frac{dl}{d\sigma} = (\sigma^2 + 1)^{-1} (A_1 + A_2 \sigma^2) \frac{dh}{d\sigma}$ , получим одно уравнение для параметра  $\sigma$ :

$$\alpha \sigma^5 + (4\alpha - 3)\sigma^3 + (3\alpha - 4)r_* \sigma^2 - r_* = 0, \quad (5)$$

где  $r_* = r_2 r_1^{-1}$ ,  $\alpha = A_2 A_1^{-1}$ . Число особых точек кривой (4<sup>1</sup>) зависит от числа действительных корней этого уравнения. Можно показать, что уравнение (5) с действительными коэффициентами имеет не более трех действительных корней (вычислим число перемен знаков у коэффициентов полинома и применим, например, теорему Декарта). Это свойство позволяет разделить значения параметров  $(\alpha, r_*)$ , при которых кривая (4<sup>1</sup>) имеет одну либо три особые точки. Приравнявая нулю дискриминант уравнения (5)

$$\alpha(3\alpha - 4)^5 r_*^4 + c(\alpha) r_*^2 - (4\alpha - 3)^5 = 0, \quad (6)$$

где  $c(\alpha) = 256(\alpha^6 + 1) - 2700(\alpha^4 + 1)\alpha + 8268(\alpha^2 + 1)\alpha^2 - 11650\alpha^3$ , получим уравнение разделяющей кривой на плоскости параметров  $(\alpha, r_*)$ . Анализ особых точек приведенного потенциала на сфере Пуассона позволяет описать топологию  $\mathcal{Q}_{h,g}^3$  по стандартной схеме [4,5,2]. На рис. 2 показаны основные типы бифуркационных диаграмм для случая  $A_1 > A_3 > A_2$ ,  $r_*^2 > (\beta - \alpha)$ . Полный список неособых поверхностей  $\mathcal{Q}_{h,g}^3$  содержит пять типов 3-многообразий: *i*)  $S^3$ , *ii*)  $S^3 \cup S^3$ , *iii*)  $S^1 \times S^2$ , *iv*)  $\mathbb{R}P^3$ , *v*)  $S^3 \cup (S^1 \times S^2)$ .



а)  $\alpha = 0.7, \beta = 0.85, r_* = 1.2$     б)  $\alpha = 0.5, \beta = 0.50005, r_* = 0.04$     в)  $\alpha = 0.5, \beta = 0.500005, r_* = 0.01$

Рис. 2. Бифуркационные диаграммы. Случай  $A_1 > A_3 > A_2$ ,  $r_3 = 0$ .

Топология поверхности  $\mathcal{P}_{h,g}^2$  и ее расположение внутри многообразия  $\mathcal{Q}_{h,g}^3$  меняются при изменении параметров тела и констант  $h, g$ . Бифуркационное множество и кривые

$$g^2(A^{-1} \mathbf{r} \cdot \mathbf{r}) - 2|\mathbf{r}|^2(h \pm |\mathbf{r}|) = 0, \quad (7)$$

$$8h^3 - 27g^2(A^{-1}\mathbf{r} \cdot \mathbf{r}) = 0 \quad (8)$$

разделяют плоскость  $\mathbb{R}^2(h, g)$  на конечное число связных областей, внутри которых сохраняется топологический тип поверхности  $\mathcal{P}_{h,g}^2$ . С учетом физических ограничений на фазовые переменные следует положить в (8)

$$\frac{3(A^{-1}\mathbf{r} \cdot \mathbf{r})}{2|A^{-1}\mathbf{r}|} \leq h \leq \frac{3}{2}|\mathbf{r}|.$$

Детальное описание топологии и бифуркаций поверхностей  $\mathcal{P}_{h,g}^2$  дано в статье И.Н.Гашененко и П.Рихтера "Enveloping surfaces and admissible velocities of the heavy spinning top" (в печати). Каждая связная компонента неособой поверхности  $\mathcal{P}_{h,g}^2$  является двумерным компактным многообразием  $M_m^2$  рода  $m \geq 0$  (сферой с  $m$  "ручками"), а число  $m$  в данной задаче не превосходит четырех. Проекции поверхностей  $\mathcal{P}_{h,g}^2$  на подвижное пространство угловых скоростей исследованы в работах [7,8], там же предложена схема изучения проекций  $\mathcal{P}_{h,g}^2$  на сферу Пуассона.

**2. Частные решения. Центр масс принадлежит главной оси инерции.** Переходим к краткому описанию всех известных частных решений уравнений Эйлера–Пуассона. Более детальные сведения о точных решениях динамики твердого тела и физических параметрах, при которых эти решения существуют, имеются в монографиях [9–11]. Функциональная зависимость констант  $h, g$  от параметров  $A_i, r_i$  для некоторых частных решений изучена А.А.Богоявленским и А.И.Докшевичем, на основе этих результатов далее будут указаны типы поверхностей  $\mathcal{Q}_{h,g}^3$ , несущих периодические траектории. Результаты компьютерного моделирования точных решений представлены на рис. 3–6. Вычисления проводились по следующей схеме: строились периодические решения и типичные траектории на неособых поверхностях  $\mathcal{Q}_{h,g}^3$ , находились точки пересечения этих траекторий с  $\mathcal{P}_{h,g}^2$ , поверхности  $\mathcal{P}_{h,g}^2 \subset \mathbb{R}^6(\boldsymbol{\omega}, \boldsymbol{\nu})$  проектировались на сферу  $S^2 = \{|\boldsymbol{\nu}| = 1\}$ . Почти все точки сферы имеют два прообраза на  $\mathcal{P}_{h,g}^2$ , поэтому на рисунках показаны две копии  $S^2$  (точнее, их проекции на  $\mathbb{R}^2(\nu_1, \nu_2)$ ). В случае  $g = 0$  изображена только одна копия, так как вторая ей идентична. Центр масс тела принадлежит одной из двух ортогональных осей, изображенных на этих рисунках.

*Случай Бобылева–Стеклова.* Пусть  $A_1 = 2A_3$ ,  $A_2 = \gamma A_3$ ,  $\gamma \in (1, 3)$ ,  $r_2 = r_3 = 0$ . Д.Н.Бобылев и В.А.Стеглов независимо нашли при указанных ограничениях на распределение масс в твердом теле семейство частных решений уравнений Эйлера–Пуассона. В этом случае инвариантное многообразие задано следующими соотношениями

$$\begin{aligned} \omega_1 &= a_0, \quad \omega_2 = 0, \quad \nu_1 = \zeta_0 + \zeta_1 \omega_3^2, \\ \nu_2^2 &= \eta_0 + \eta_1 \omega_3^2 + \eta_2 \omega_3^4, \quad \nu_3 = \xi_0 \omega_3, \end{aligned}$$

где  $a_0, \zeta_i, \eta_i, \xi_0$  зависят от  $\gamma$  и двух свободных констант  $h, g$ . Зависимость  $\omega_3$  от времени выражена эллиптической функцией Якоби, а величины  $\omega_1, \omega_2$  от времени не зависят.

**ТЕОРЕМА.** Если константы  $h, g$  связаны неравенством  $h \leq g^2/(2A_1) - |r_1|$ , тогда на многообразии  $\mathcal{Q}_{h,g}^3$  не существует решения Бобылева–Стеклова.

*Доказательство.* На единичной сфере Пуассона допустимыми являются те и только те точки, в которых приведенный потенциал задачи

$$U_g = \frac{g^2}{2(A\boldsymbol{\nu} \cdot \boldsymbol{\nu})} - (\mathbf{r} \cdot \boldsymbol{\nu})$$

удовлетворяет неравенству  $U_g \leq h$ . Предположим, что условие  $h \leq g^2/(2A_1) - |r_1|$  выполняется и  $\mathcal{Q}_{h,g}^3$  не пусто. Непустые интегральные многообразия существуют, например, при  $A_2 > A_1 = 2A_3$ ,  $r_2 = r_3 = 0$  (см. на рис. 1, в область *ii*). Тогда в точках пересечения плоскости  $\nu_2 = 0$  со сферой  $|\nu| = 1$  должно выполняться неравенство  $U_g|_{\nu_2=0} \leq g^2/(2A_1) - |r_1|$ , то есть

$$0 \leq \frac{g^2}{2A_1} \frac{(1 - \nu_1^2)}{(1 + \nu_1^2)} \leq |r_1|(\nu_1 - 1) \leq 0.$$

Следовательно, при заданных параметрических ограничениях фазовые траектории могут пересекать гиперплоскость  $\nu_2 = 0$  только если  $\nu_1 = 1$ , но для семейства решений Бобылева–Стеклова получаем противоречие: в моменты времени, когда величина  $|\omega_3|$  достигает максимального значения, имеем  $\nu_2 = 0, \nu_3 \neq 0, \nu_1 \neq 1$ . Таким образом, решение Бобылева–Стеклова существует не на всех совместных уровнях интегралов энергии и момента, а только при достаточно больших значениях  $h > g^2/(2A_1) - |r_1|$ .  $\square$

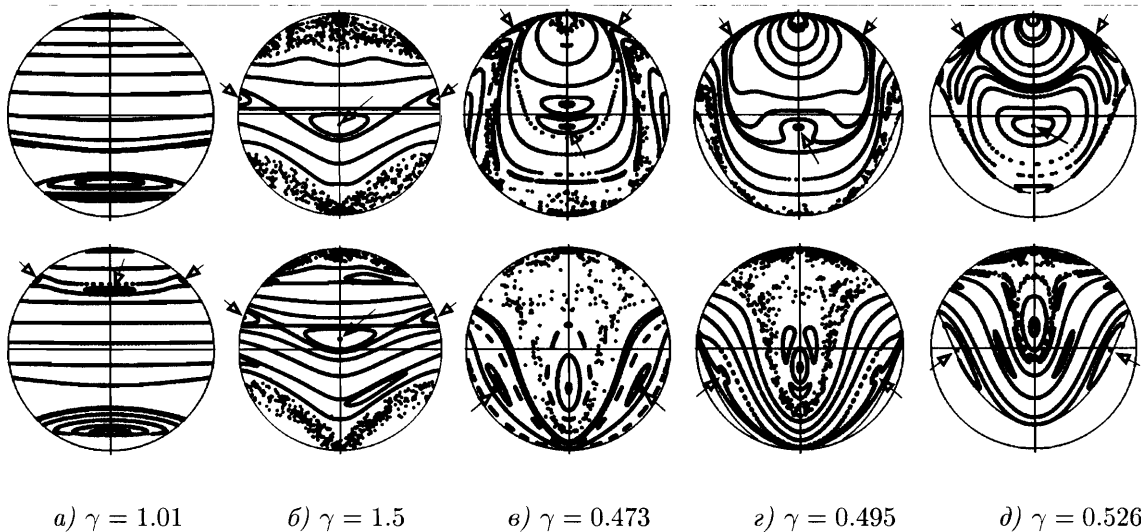


Рис. 3. Сечения поверхностей  $\mathcal{Q}_{h,g}^3$  для случаев Бобылева–Стеклова (а,б) и Ковалевского (в,з,д).

Вектор угловой скорости  $\omega$  вычерчивает в теле отрезок прямой, параллельный третьей координатной оси. Граничные точки этого отрезка определяются корнями уравнения  $\eta_0 + \eta_1\omega_3^2 + \eta_2\omega_3^4 = 0$ , или

$$A_1^2\omega_3^4 + 8A_1(A_1\omega_1^2 - h)\omega_3^2 + 4A_1^2\omega_1^4 - 16hA_1\omega_1^2 + 16(h^2 - r_1^2) = 0, \quad (9)$$

которое имеет по крайней мере два действительных корня [9, с.81]. Постоянная величина  $\omega_1$  является действительным корнем уравнения

$$A_1^2\omega_1^3 - 2hA_1\omega_1 - 2gr_1 = 0. \quad (10)$$

На фиксированной связной компоненте поверхности  $\mathcal{Q}_{h,g}^3$  могут лежать несколько периодических траекторий решения Бобылева–Стеклова. Число действительных решений уравнений (9),(10) при заданных параметрах  $A_1, r_1, h, g$  равно удвоенному числу этих траекторий на  $\mathcal{Q}_{h,g}^3$ . По старшим степеням полиномов (9),(10) устанавливаем, что число

траекторий не превосходит шести, но более точный анализ показал, что 12 действительных решений система (9),(10) не имеет. Следовательно, при изменении параметров тела в допустимых интервалах число траекторий меняется от 1 до 5. Например, в интегрируемом случае С.В.Ковалевской ( $A_1 = A_2 = 2A_3$ ) на каждой связной компоненте  $\mathcal{Q}_{h,g}^3$  существуют от 1 до 5 траекторий рассматриваемого семейства точных решений. Точки пересечения периодических фазовых траекторий с поверхностью сечения  $\mathcal{P}_{h,g}^2$  найдем из условия  $F = 0$ , то есть  $\omega_3\nu_2 = 0$ . Если траектория угловой скорости пересекает первую координатную ось, несущую центр масс тела, тогда имеем четыре точки на  $\mathcal{P}_{h,g}^2$ ; если  $\omega_3(t)$  сохраняет знак, тогда фазовая траектория пересекает  $\mathcal{P}_{h,g}^2$  в двух точках.

Поворот координатных осей подвижного базиса сводит случай  $A_1 = 2A_2$  к уже рассмотренному решению. Полученная информация о частных решениях помещена в табл. 1, 2. В них указаны: топологический тип связных компонент  $\mathcal{Q}_{h,g}^3$  и  $\mathcal{P}_{h,g}^2$ ; параметры, характеризующие поверхности  $\mathcal{Q}_{h,g}^3, \mathcal{P}_{h,g}^2$ ; число циклов, которые делает периодическая траектория, последовательно возвращаясь на  $\mathcal{P}_{h,g}^2$  (один цикл соответствует дуге траектории между двумя последовательными максимумами функции  $|A\omega(t)|$ ); число траекторий данного решения на одной компоненте  $\mathcal{Q}_{h,g}^3$ ; номера тех областей на рис. 1, а, которым принадлежат параметры  $(\alpha, \beta)$  рассматриваемого семейства решений.

*Случай Стеклова.* Если центр масс тела принадлежит главной оси ( $r_2 = r_3 = 0$ ) и выполняется неравенство  $(A_1 - 2A_2)(A_1 - 2A_3) < 0$ , тогда частное решение задано соотношениями

$$\begin{aligned} \omega_2^2 &= a_0 + a_1\omega_1^2, \quad \omega_3^2 = b_0 + b_1\omega_1^2, \\ \nu_1 &= \zeta_0 + \zeta_1\omega_1^2, \quad \nu_2 = \eta_0\omega_1\omega_2, \quad \nu_3 = \xi_0\omega_1\omega_3. \end{aligned}$$

Функция  $\omega_1(t)$  является эллиптической функцией Якоби. Интегральные константы имеют следующий вид

$$g = 0, \quad h = \left| r_1 + \frac{A_1^2 r_1}{2(A_1 - A_2)(A_3 - A_1)} \right| \in (|r_1|, \infty).$$

Зависящие от параметров значения  $(h, g)$  не принадлежат кривым (3),(7),(8), поэтому поверхности  $\mathcal{Q}_{h,g}^3, \mathcal{P}_{h,g}^2$  не изменяют свой топологический тип. Двухпараметрическое семейство периодических решений Стеклова существуют только на тех  $\mathcal{Q}_{h,g}^3$ , которые диффеоморфны проективному пространству  $\mathbb{R}P^3$ , а поверхность  $\mathcal{P}_{h,g}^2$  всегда есть тор. На каждой поверхности  $\mathcal{Q}_{h,g}^3$  расположены две траектории этого семейства.

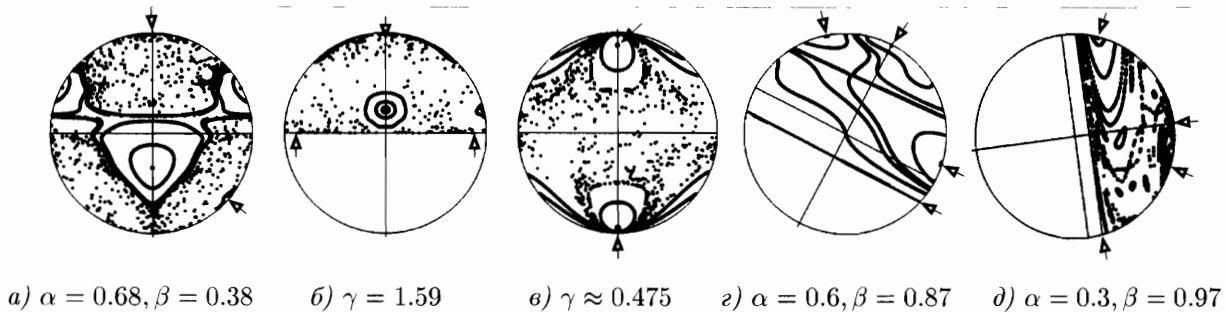


Рис. 4. Сечения поверхностей  $\mathcal{Q}_{h,g}^3$  для случаев Стеклова (а), Чаплыгина (б), Докшевича (в) и Гесса-Докшевича (г,д).

*Случай Горячева.* Для тела с параметрами  $A_3 = \gamma A_2$ ,  $A_1 = \frac{16\gamma(1-\gamma)}{(9-8\gamma)} A_2$ ,  $\gamma \in (\frac{3}{8}, \frac{1}{2})$ ,  $r_2 = r_3 = 0$  известны следующие инвариантные соотношения

$$\omega_2^2 = a_0 + a_1\omega_1^2, \quad \omega_3^2 = b_0 + b_1\omega_1^2 + b_2\omega_1^4,$$

$$\nu_1 = \zeta_0 + \zeta_1\omega_1^2 + \zeta_2\omega_1^4, \quad \nu_2 = (\eta_0 + \eta_1\omega_1^2)\omega_1\omega_2, \quad \nu_3 = \xi_0\omega_1\omega_3,$$

которые определяют две замкнутые траектории на фиксированной поверхности уровня интегралов (2). Константы интегралов имеют вид

$$g = 0, \quad h = \left[ \frac{|r_1|}{(2-4\gamma)} + \frac{|r_1|}{(3-4\gamma)} + \frac{|r_1|}{(6-4\gamma)} \right] \in \left( \frac{26}{9}|r_1|, \infty \right).$$

Топология поверхностей  $\mathcal{Q}_{h,g}^3, \mathcal{P}_{h,g}^2$  не зависит от параметра  $\gamma$ . Переменная  $z = \omega_1^2$  является Якоби эллиптической функцией времени.

Траекторная структура фазового пространства в окрестности решения Горячева качественно меняется с изменением  $\gamma$ : начиная с  $\gamma = 0.5$  все близкие траектории лежат на концентрических инвариантных торах, стягивающихся к замкнутой кривой (см. рис. 5, а); уменьшение  $\gamma$  приводит к появлению неустойчивой периодической траектории, которая типична для резонанса 3:1 (см. рис. 5, в и рис. 239 в книге [6]); при  $\gamma = 0.385$  решение принадлежит сепаратрисной поверхности (ее сечение – “восьмерка” на рис. 5, д), по терминологии [1,2] здесь два атома  $A$  перестраиваются в атом  $B$ ; дальнейшее уменьшение  $\gamma$  приводит к разрушению сепаратрисной поверхности, появлению регулярных “островов” и хаотических траекторий даже в малой окрестности решения Горячева.

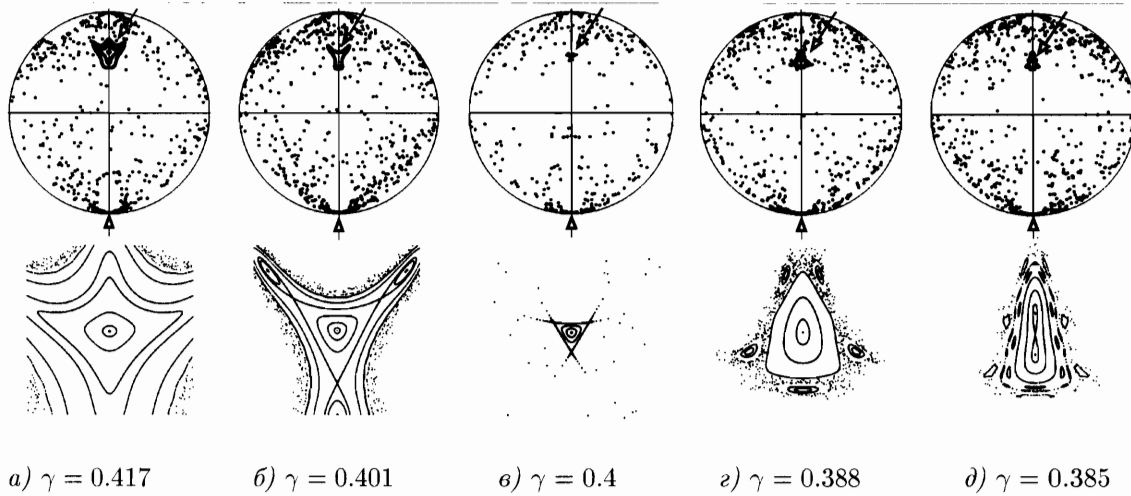


Рис. 5. Сечения поверхностей  $\mathcal{Q}_{h,g}^3$ , несущих решение Горячева.

*Случай Чаплыгина.* Пусть  $A_2 = \gamma A_1$ ,  $A_3 = \frac{9(2\gamma-1)}{2(16\gamma-9)} A_1$ ,  $\gamma \in (\frac{3}{2}, \frac{17+\sqrt{73}}{16})$ ,  $r_2 = r_3 = 0$ , тогда следующая система независимых соотношений

$$\omega_2^2 = a_0\omega_1^{\frac{2}{3}} + a_1\omega_1^2, \quad \omega_3^2 = b_0\omega_1^{\frac{2}{3}} + b_1\omega_1^2,$$

$$\nu_1 = \zeta_0\omega_1^{\frac{2}{3}} + \zeta_1\omega_1^2, \quad \nu_2 = (\eta_0 + \eta_1\omega_1^{-\frac{4}{3}})\omega_1\omega_2, \quad \nu_3 = (\xi_0 + \xi_1\omega_1^{-\frac{4}{3}})\omega_1\omega_3$$



определяет две инвариантные кривые на фиксированной трехмерной поверхности уровня  $Q^3 = \{H = 0, G = 0, I = 1\}$ , которая диффеоморфна  $S^3$ . Переменная  $z = \omega_1^{\frac{2}{3}}$  связана со временем гиперэллиптической квадратурой. В окрестности решения Чаплыгина фазовые траектории имеют неустойчивое поведение. По результатам компьютерного анализа обе инвариантные кривые являются предельными циклами и принадлежат одной двумерной поверхности, которая расположена рядом с областью хаотических движений. Анализ этих движений будет проведен в отдельной работе. Без детализации на рис. 4, б стрелками показано расположение точек, принадлежащих данному периодическому решению, на поверхности сечения.

*Случай Ковалевского.* Пусть  $A_3 = \gamma A_2, A_1 = \frac{18\gamma(1-\gamma)}{(10-9\gamma)} A_2, \gamma \in (\frac{10}{27}, \gamma_*)$ ,  $\gamma_* \approx 0.6219$ ,  $r_2 = r_3 = 0$ , тогда частное решение задано соотношениями

$$\omega_2^2 = a_0 + a_1\omega_1 + a_2\omega_1^2, \quad \omega_3^2 = b_0 + b_1\omega_1 + b_2\omega_1^2 + b_3\omega_1^3,$$

$$\nu_1 = \zeta_0 + \zeta_1\omega_1 + \zeta_2\omega_1^2 + \zeta_3\omega_1^3,$$

$$\nu_2 = (\eta_0 + \eta_1\omega_1 + \eta_2\omega_1^2)\omega_2, \quad \nu_3 = (\xi_0 + \xi_1\omega_1)\omega_3.$$

Зависимость  $\omega_1(t)$  выражена гиперэллиптической квадратурой. Существует однопараметрическое семейство поверхностей  $Q_{h,g}^3$ , которым принадлежит решение Н.Ковалевского. Тип этих поверхностей меняется при изменении параметра  $\gamma$ . В этом случае неособыми изоэнергетическими поверхностями являются  $\mathbb{R}P^3, S^1 \times S^2, S^3$ , они соответствуют  $\gamma \in (\frac{10}{27}, \gamma_1) \cup (\gamma_1, \gamma_2) \cup (\gamma_2, \gamma_*)$ , где  $\gamma_1 \approx 0.48327$ ,  $\gamma_2 \approx 0.49769$ . Для  $\gamma \in (\gamma_1, \gamma_2)$  поверхность  $P_{h,g}^2$  является сферой с тремя "ручками". Явная зависимость  $h, g$  от  $\gamma$  выражается с помощью громоздких формул. Дуга кривой на плоскости  $\mathbb{R}^2(h, g)$  пересекает две бифуркационные кривые и соединяет точки  $(2.269, 0.808)$  и  $(0.848, 1.885)$ . При  $\gamma \rightarrow \gamma_*$  решение стремится к устойчивому равномерному вращению вокруг вертикали.

*Случай Коносевиича-Поздняковича.* Пусть  $A_3 = \gamma A_1, A_2 = \frac{4(2\gamma-1)}{(17\gamma-8)} A_1, \gamma = \gamma_1 \cup \gamma_2, \gamma_1 \approx 0.4119, \gamma_2 \approx 0.7082, r_2 = r_3 = 0$ , тогда решение задано следующими соотношениями

$$\omega_1 = a_0 + a_1 \cos \varphi + a_2 \cos 2\varphi, \quad \omega_2 = b_0 \sin \varphi + b_1 \sin 2\varphi,$$

$$\omega_3^2 = c_0 + c_1 \cos \varphi + c_2 \cos 2\varphi + c_3 \cos 3\varphi + c_4 \cos 4\varphi,$$

$$\nu_1 = \zeta_0 + \zeta_1 \cos \varphi + \zeta_2 \cos 2\varphi + \zeta_3 \cos 3\varphi + \zeta_4 \cos 4\varphi,$$

$$\nu_2 = \eta_0 \sin \varphi + \eta_1 \sin 2\varphi + \eta_2 \sin 3\varphi + \eta_3 \sin 4\varphi,$$

$$\nu_3 = (\xi_0 + \xi_1 \cos \varphi + \xi_2 \cos 2\varphi)\omega_3,$$

где переменная  $z = \cos \varphi$  связана со временем гиперэллиптической квадратурой. Это решение существует для двух наборов параметров, которые выпишем в явном виде:

$$1) (A_1, A_2, A_3) \approx (2.4277, 1.7151, 1.0), \quad r_1 = 1.0, \quad h \approx 3.0954, \quad g \approx 3.1383;$$

$$2) (A_1, A_2, A_3) \approx (1.4121, 0.5822, 1.0), \quad r_1 = 1.0, \quad h \approx 3.0672, \quad g \approx 2.3694.$$

Значения параметров позволяют указать тип  $Q_{h,g}^3$  и  $P_{h,g}^2$ : в первом случае имеем  $S^3 \cup S^3$  (периодическая траектория принадлежит одной из связных компонент) и  $T^2 \cup T^2$ ; во втором случае имеем  $S^1 \times S^2$  и  $M_3^2$ . Заметим, что поворотом подвижных осей и масштабированием можно преобразовать случай 2) к следующей эквивалентной форме:

$$2') (A_1, A_2, A_3) \approx (2.4252, 1.7175, 1.0), \quad r_1 = 1.0, \quad h \approx 3.0672, \quad g \approx 3.1052.$$

Конечно, такое преобразование не изменяет топологию  $Q_{h,g}^3$  и  $P_{h,g}^2$ . Для этого периодического решения нам не удалось построить в фазовом пространстве окрестность, слоенную концентрическими инвариантными торами. Все близкие траектории имеют сложную структуру, они чувствительны даже к малому изменению начальных условий. Периодическая траектория пересекает  $P_{h,g}^2$  в восьми (для 1) и в двенадцати (для 2) точках, стрелками мы укажем лишь приближенное их местоположение на рис. 6, а, б.

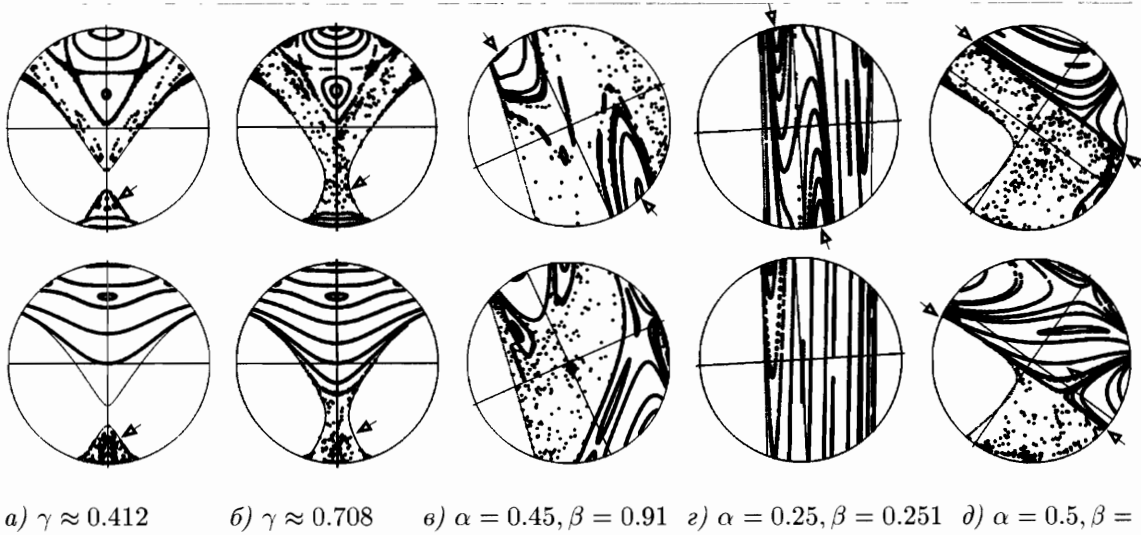


Рис. 6. Сечения поверхностей  $Q_{h,g}^3$ , несущих решения Коносевиича–Поздняковича (а,б), Гриолли (в,з) и Гесса (д).

*Случай Докшевича.* При выполнении условий Н.Ковалевского существует частное решение, которое отличается от рассмотренного ранее случая. Снова положим  $A_3 = \gamma A_2$ ,  $A_1 = \frac{18\gamma(1-\gamma)}{(10-9\gamma)} A_2$ ,  $\gamma = \frac{(25-2\sqrt{37})}{27}$ ,  $r_2 = r_3 = 0$ , тогда инвариантные кривые в фазовом пространстве заданы системой соотношений

$$\begin{aligned} \omega_1^2 &= a_0 + a_1 z^2, & \omega_2^2 &= b_0 + b_1 z + b_2 z^2, \\ \omega_3^2 &= (c_0 + c_1 z) z^2, & \nu_1 &= \zeta_0 + \zeta_1 z + \zeta_2 z^2 + \zeta_3 z^3, \\ \nu_2 &= (\eta_0 + \eta_1 z) \omega_1 \omega_2, & \nu_3 &= (\xi_0 + \xi_1 z^{-1}) \omega_1 \omega_3. \end{aligned}$$

Переменная  $z$  связана с  $t$  гиперэллиптической квадратурой. Данное решение существует только на одной поверхности  $Q_{h,g}^3$ , которая соответствует константам

$$g = 0, \quad h = \frac{6(89 + 17\sqrt{37})|r_1|}{(20 - \sqrt{37})\sqrt{17 + 8\sqrt{37}}} \approx 10.2367|r_1|.$$

Таким образом, поверхность  $Q_{h,g}^3$  диффеоморфна  $\mathbb{R}P^3$ , а  $P_{h,g}^2$  является тором.

### 3. Частные решения. Центр масс лежит в главной плоскости инерции.

*Физический маятник.* Если центр масс тела принадлежит главной плоскости эллипсоида инерции ( $r_3 = 0$ ), тогда при  $h \in (-|\mathbf{r}|, \infty)$ ,  $g = 0$  и начальных условиях  $\omega_1 = \omega_2 = \nu_3 = 0$  тело движется как физический маятник.

Табл. 1.  $r_2 = r_3 = 0$

Решения	$\mathcal{Q}_{h,g}^3$	$\mathcal{P}_{h,g}^2$	Параметры	Циклы	Траектории	$(\alpha, \beta) \in \mathbb{R}^2$
Бобылев– Стеклов	$\mathbb{R}P^3, S^3$	$T^2$	(3) : $A_2, h, g$	1,2	1-5	$I - IV$
	$S^1 \times S^2, K^3$	$M_3^2$		1,2	1-5	$I - IV$
Стеклов	$\mathbb{R}P^3$	$T^2$	(2) : $A_1, A_2$	2	2	$I - IV$
Горячев	$\mathbb{R}P^3$	$T^2$	(1) : $A_1$	2	2	$IV$
Чаплыгин	$S^3$	$T^2$	(1) : $A_1$	2	2	$IV$
Ковалевский	$S^3, \mathbb{R}P^3$	$T^2$	(1) : $A_1$	4	1	$IV$
	$S^1 \times S^2$	$M_3^2$		4	1	$IV$
Коносевиц– Позднякович	$S^3$	$T^2$	(0)	4	1	$II$
	$S^1 \times S^2$	$M_3^2$	(0)	6	1	$II$
Докшевич	$\mathbb{R}P^3$	$T^2$	(0)	2	2	$IV$

Остальные фазовые переменные с помощью следующих соотношений

$$\begin{aligned} \nu_1 &= \frac{r_1}{|\mathbf{r}|^2} \left( \frac{A_3}{2} \omega_3^2 - h \right) - \frac{r_2}{|\mathbf{r}|^2} \sqrt{|\mathbf{r}|^2 - \left( \frac{A_3}{2} \omega_3^2 - h \right)^2}, \\ \nu_2 &= \frac{r_2}{|\mathbf{r}|^2} \left( \frac{A_3}{2} \omega_3^2 - h \right) + \frac{r_1}{|\mathbf{r}|^2} \sqrt{|\mathbf{r}|^2 - \left( \frac{A_3}{2} \omega_3^2 - h \right)^2}, \\ A_3 \frac{d\omega_3}{dt} &= \sqrt{|\mathbf{r}|^2 - \left( \frac{A_3}{2} \omega_3^2 - h \right)^2} \end{aligned}$$

выражаются в эллиптических функциях времени. Если  $-|\mathbf{r}| < h < |\mathbf{r}|$ , тогда на  $\mathcal{Q}_{h,g}^3$ , диффеоморфной сфере  $S^3$ , существует одна траектория, которая отвечает маятниковым колебаниям центра масс вокруг главной оси. Если  $h > |\mathbf{r}|$ , тогда на  $\mathcal{Q}_{h,g}^3$ , диффеоморфной  $\mathbb{R}P^3$ , существуют две периодические траектории, которые соответствуют вращениям центра масс тела вокруг третьей оси инерции. В случае  $r_2 = r_3 = 0$  число маятниковых траекторий на  $\mathcal{Q}_{h,g}^3$  удваивается, так как движения возможны вокруг второй и третьей осей инерции. Для  $g = 0$  любая неособая поверхность  $\mathcal{P}_{h,g}^2$  является тором. Точки пересечения маятниковых траекторий с  $\mathcal{P}_{h,g}^2$  соответствуют точкам экстремума функции  $|\boldsymbol{\omega}(t)|$ .

*Случай Гесса.* Параметры, характеризующие распределение масс, подчиним следующим условиям

$$r_1 \sqrt{A_1(A_3 - A_2)} = r_2 \sqrt{A_2(A_1 - A_3)}, \quad r_3 = 0, \quad A_1 > A_3 > A_2. \quad (11)$$

Тогда задача интегрирования уравнений (1) на двумерном инвариантном подпространстве, которое задано соотношением Гесса

$$A_1 \omega_1 r_1 + A_2 \omega_2 r_2 = 0 \quad \checkmark$$

и совместными уровнями интегралов (2), сводится к эллиптической квадратуре и к интегрированию линейного дифференциального уравнения второго порядка с мероморфными двоякопериодическими коэффициентами. Двумерное инвариантное подпространство Гесса принадлежит  $\mathcal{Q}_{h,g}^3$  и, в зависимости от значений  $h, g$ , заполнено либо квази-периодическими, либо асимптотическими траекториями, стремящимися к предельным

циклам [12]. Укажем одно интересное свойство: инвариантное подпространство всегда связно и разделяет многообразие  $\mathcal{Q}_{h,g}^3$  на две непересекающиеся компоненты; следовательно, любая фазовая траектория на  $\mathcal{Q}_{h,g}^3$  либо принадлежит семейству решений Гесса, либо целиком принадлежит одной из этих компонент. На рис. 6,  $\mathcal{d}$  подпространству соответствуют два отрезка (они отмечены стрелками), верхнюю часть поверхности сечения пересекают регулярные, а нижнюю – в основном хаотические траектории.

Бифуркационные кривые (4) делят плоскость  $\mathbb{R}^2(h, g)$  на области с пятью возможными типами неособых поверхностей  $\mathcal{Q}_{h,g}^3$  (см. рис. 2). Решение Гесса существует только на многообразиях  $S^3, S^1 \times S^2$  и  $\mathbb{R}P^3$ . Если  $\mathcal{Q}_{h,g}^3$  состоит из двух связных компонент, тогда решение Гесса принадлежит той компоненте, которая диффеоморфна многообразию  $S^3$ . Кроме того, это решение существует не при любых допустимых значениях  $h, g$  и параметрические ограничения могут быть записаны в виде неравенства. Область допустимых значений констант  $h, g$  в этом случае исследована А.М.Ковалевым [12]. Решения Гесса существуют только в той части плоскости  $\mathbb{R}^2(h, g)$ , которая ограничена кривой (4<sup>2</sup>) с параметром  $\sigma_* = -|r|^2 A_3^{-1}$ . Соответствующие неравенству  $|\sigma| \leq \sigma_0^{-\frac{1}{4}}$  дуги этой кривой, как мы выяснили в п.1, принадлежат бифуркационному множеству (на рис. 2, *a* кривая (4<sup>2</sup>) разделяет области *ii, iii*). Подстановка  $r_*^2 = (\beta - \alpha)\alpha^{-1}(1 - \beta)^{-1}$  в (6) позволяет получить уравнение кривой, которая отделяет узкую подобласть, прилегающую к интервалу  $\{\alpha = \beta, \alpha \in (0.5, 0.75)\}$  на плоскости  $\mathbb{R}^2(\alpha, \beta)$ . Для параметров  $(\alpha, \beta)$ , принадлежащих этой подобласти, бифуркационные диаграммы изображены на рис. 2, *б, в*. Почти все траектории решения Гесса имеют бесконечное число пересечений с поверхностью сечения  $\mathcal{P}_{h,g}^2$ , которая, в зависимости от значений  $h, g$ , является тором,  $M_2^2$  или  $M_3^2$ .

*Случай Гриоли.* Пусть  $r_1\sqrt{A_3 - A_2} + r_2\sqrt{A_1 - A_3} = 0, A_1 > A_3 > A_2, r_3 = 0$ , тогда существует частное решение, в котором зависимость фазовых переменных от времени выражается в тригонометрических функциях:

$$\omega_1 = a_0 + a_1 \cos \mu_0 t, \quad \omega_2 = a_1 - a_0 \cos \mu_0 t, \quad \omega_3 = \mu_0 \sin \mu_0 t,$$

$$\nu_1 = \zeta_0 \cos \mu_0 t + \zeta_1 \sin^2 \mu_0 t, \quad \nu_2 = \eta_0 \cos \mu_0 t + \eta_1 \sin^2 \mu_0 t, \quad \nu_3 = (\xi_0 + \xi_1 \cos \mu_0 t) \sin \mu_0 t.$$

Двухпараметрическое семейство поверхностей  $\mathcal{Q}_{h,g}^3$  содержит это частное решение, константы интегралов можно выразить через параметры  $A_i$ :

$$h = \frac{A_1 + A_2}{2(A_1^2 + A_1 A_2 + A_2^2 - A_1 A_3 - A_2 A_3)^{\frac{1}{2}}}, \quad g = \frac{A_1 A_2}{(A_1^2 + A_1 A_2 + A_2^2 - A_1 A_3 - A_2 A_3)^{\frac{3}{4}}}.$$

Бифуркационные диаграммы случая Гриоли качественно не отличаются от диаграмм случая Гесса. Допустимые значения  $h, g$  принадлежат областям *i, iii* (см. рис. 2), следовательно, неособые  $\mathcal{Q}_{h,g}^3$  диффеоморфны  $S^3$  либо  $S^1 \times S^2$ .

*Случай Докшевича.* Если параметры тела связаны условиями (11), тогда существует частное решение уравнений (1), которое отличается от решения Гесса, так как инвариантное многообразие задано системой соотношений

$$\omega_1 = a_0 z^{-1} + a_1 z, \quad \omega_2 = b_0 z^{-1} + b_1 z, \quad \omega_3^2 = c_0 z^{-2} + c_1 + c_2 z^2,$$

$$\nu_1 = \zeta_0 + \zeta_1 z^2, \quad \nu_2 = \eta_0 + \eta_1 z^2, \quad \nu_3 = \xi_0 z \omega_3.$$

Табл. 2.  $r_3 = 0$ 

Решения	$\mathcal{Q}_{h,g}^3$	$\mathcal{P}_{h,g}^2$	Параметры	Циклы	Траектории
Физический маятник	$S^3$	$T^2$	(4) : $A_1, A_2, r_1, h$	2	1,2
	$\mathbb{R}P^3$	$T^2$		1	2,4
Гессе	$\mathbb{R}P^3, S^3, S^1 \times S^2$	$T^2, M_2^2, M_3^2$	(4) : $A_1, A_2, h, g$	$\infty$	$\infty$
Гриоли	$S^3$	$T^2$	(2) : $A_1, A_2$	1	1
	$S^1 \times S^2$	$M_3^2$		1	1
Докшевич	$S^3$	$T^2$	(2) : $A_1, A_2$	1	2

Функция  $z(t)$  является эллиптической функцией Якоби. Решение принадлежит изоэнергетическим поверхностям, зависящим от двух независимых параметров. Интегральные константы имеют вид:

$$g = 0, \quad h = \frac{3A_1A_2(A_1 + A_2 - d)|\mathbf{r}|}{(A_1 + A_2 + 2d)(2A_1A_3 + 2A_2A_3 - 3A_1A_2 - 2A_3d)} + |\mathbf{r}| \in (-|\mathbf{r}|, |\mathbf{r}|),$$

где  $d^2 = A_1^2 + A_2^2 - A_1A_2$ . Поверхности  $\mathcal{Q}_{h,g}^3$  диффеоморфны сфере  $S^3$ , на каждой из них расположены две траектории этого семейства, а также расположено семейство решений Гесса. Одна из траекторий решения Гесса совпадает с траекторией физического маятника. На рис. 4,  $z, d$  отмечены точки пересечения траекторий Докшевича и Гесса с поверхностью  $\mathcal{P}_{h,g}^2$ , которая всегда есть тор.

1. *Фоменко А.Т.* Симплектическая геометрия. Методы и приложения. – М.: Изд-во Моск. ун-та, 1988. – 413 с.
2. *Oshetkov A.A.* Fomenko invariants for the main integrable cases of the rigid body motion equations // *Advances in Sov. Math.* – 1991. – 6. – Р. 67-146.
3. *Козлов В.В.* Вариационное исчисление в целом и классическая механика // *Успехи матем. наук* – 1985. – 40, вып.2. – С. 33-60.
4. *Каток С.Б.* Бифуркационные множества и интегральные многообразия в задаче о движении тяжелого твердого тела // Там же. – 1972. – 27, вып.2. – С. 126-132.
5. *Татаринов Я.В.* Портреты классических интегралов задачи о вращении твердого тела вокруг неподвижной точки // *Вестн. Моск. ун-та. Сер. Математика и механика.* – 1974. – N 6. – С. 99-105.
6. *Арнольд В.И.* Математические методы классической механики. – М.: Наука, 1974. – 432 с.
7. *Gashenenko I.N.* Angular velocity of the Kovalevskaya top // *Regular and chaotic dynamics.* – 2000. – 5, N 1. – Р. 104-113.
8. *Гашененко И.Н.* Инвариантные множества в пространстве угловых скоростей тяжелого гиростата // *Механика твердого тела.* – 2000. – Вып. 30. – С. 79-87.
9. *Харламов П.В.* Лекции по динамике твердого тела. – Новосибирск: Изд-во Новосибир. ун-та, 1965. – 221 с.
10. *Leimanis E.* The general problem of the motion of coupled rigid bodies about a fixed point. – Berlin-Heidelberg: Springer-Verlag, 1965. – 337p.
11. *Горр Г.В., Кудряшова Л.В., Степанова Л.А.* Классические задачи динамики твердого тела. Развитие и современное состояние. – Киев: Наукова думка, 1978. – 296с.
12. *Ковалев А.М.* Подвижный годограф угловой скорости в решении Гесса задачи о движении тела, имеющего неподвижную точку // *Прикл. математика и механика.* – 1968. – 32, вып.6. – С. 1111-1118.